

Интегрируя полученное значение площади  $S_1$  можно определить объем материала, находящийся в барабане. Тогда, зная объемный расход материала  $Q$ , можно определить время  $\tau$ , за которое будет сформирован номинальный объем материала  $V_m$  по формуле:

$$\tau = \frac{V_m}{Q(\tau)} = \frac{\int_0^L S_1(x)dx}{Q(\tau)}.$$

Как показывают исследования, при воздействии горизонтальных колебаний на объем материала, находящийся в барабане, коэффициент динамического трения материала стремительно уменьшается. Данное явление приводит к тому, что при вращении барабана объем материала приобретает новую форму. На рис. 3 показано, как изменяется объем материала, находящегося в барабане длиной  $L=10\text{ м}$ , диаметром  $D=2,6\text{ м}$ . при уменьшении коэффициента динамического трения.

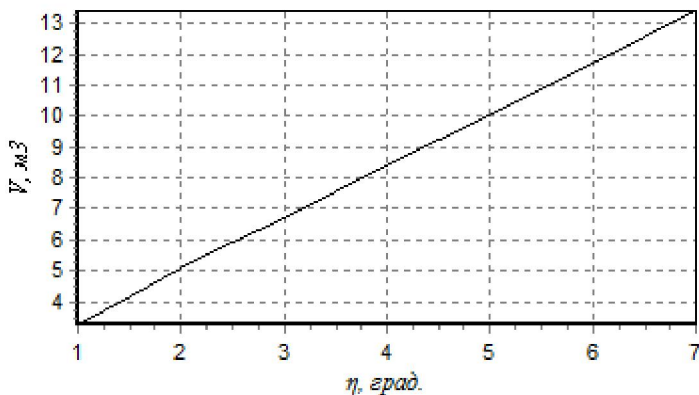


Рисунок 3 – Зависимость объема материала  $V$  от коэффициента динамического трения  $\eta$

Использование математической модели процесса обработки материала в агрегатах барабанного типа как составной части замкнутых систем автоматизации таких агрегатов полностью оправдано. Внедрение системы такого типа позволит существенно снизить себестоимость готовой продукции благодаря увеличению производительности агрегата и снижению расхода энергетических ресурсов, затрачиваемых на единицу готовой продукции.

#### Перечень ссылок

1. Першин В.Ф., Однолько В.Г., Першина С.В. Переработка сыпучих материалов в машинах барабанного типа. – М.: Машиностроение, 2009. – 220 с.
2. Лисиенко В.Г., Щелоков Я.М., Ладыгичев М.Г. Вращающиеся печи: теплотехника, управление и экология: Справочное издание: В 2-х книгах. Книга 1 / Под ред. В.Г. Лисиенко. – М.: Теплотехник, 2004. – 688с.

УДК 621.3.083.8

## ПРИМЕНЕНИЕ ТРАНСРЕАКТОРНЫХ ПРЕОБРАЗОВАТЕЛЕЙ В УСТРОЙСТВАХ ИЗМЕРЕНИЯ ПЕРЕМЕННЫХ ТОКОВ

**Новоселова О.А. , студентка; Проус В.Р., доцент, к.т.н.**

(Донской государственный технический университет, г. Ростов-на-Дону, Россия)

Работа традиционных трансформаторов тока (ТТ) с погрешностями, превышающими 10%, для ряда устройств релейной защиты (РЗ) усложняет алгоритмы функционирования полупроводниковых исполнительных органов. С учетом этого ТТ по своему назначению

разделяются на ТТ для измерений и ТТ для РЗ за некоторым исключением, когда эти функции совмещены в одном трансформаторе [1]. В результате увеличена номенклатура выпускаемых промышленностью ТТ.

Измерители тока и устройства РЗ автономных электроэнергетических систем подвижных объектов должны удовлетворять ряду дополнительных требований, например, ограничению по габаритам и массе, что затрудняет возможность применения ТТ. Для таких систем находят применение трансреакторные преобразователи шинного типа с замкнутым магнитодиэлектрическим сердечником (МДТ) на основе порошков карбонильного железа марок Р-10, Р-20, Р-100 [2, 3]. Начальная относительная магнитная проницаемость таких сердечников невелика и лежит в пределах  $\mu_h = 8 \div 15$ .

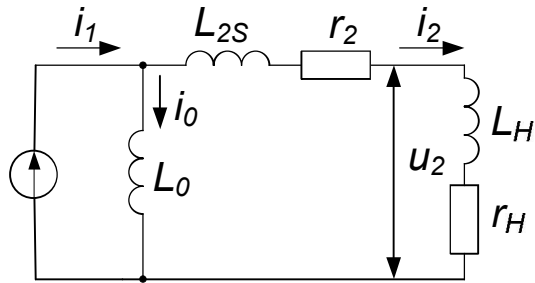


Рисунок 1 – Схема замещения МДТ

Математическая модель МДТ шинного типа определяется схемой замещения (рисунок 1):

$$\begin{aligned} i_1 &= i_0 + i_2, \quad \Psi = f(i_0), \\ \frac{d\Psi}{dt} &= (L_{2S} + L_H) \frac{di_2}{dt} + (r_2 + r_H)i_2, \end{aligned} \quad (1)$$

где  $i_1$ ,  $i_0$  — приведенные к вторичной обмотке первичный ток и ток намагничивания;  $i_2$  — вторичный ток;  $\Psi$  — пото-

косцепление;  $L_{2S}$ ,  $L_H$  — индуктивность рассеяния и индуктивность нагрузки;  $r_2$ ,  $r_H$  — активные сопротивления вторичной обмотки и нагрузки соответственно.

МДТ работает в режиме трансреактора с большим активным сопротивлением нагрузки ( $r_H > 10$  кОм;  $L_H = 0$ ), его входной величиной является первичный ток  $i_1$ , а выходной — вторичное напряжение  $u_2$ . С учетом этого математическую модель МДТ (1) приведем к виду (2)

$$i_1 = i_0 + \frac{u_2}{r_H}, \quad \Psi = f(i_0), \quad \frac{d\Psi}{dt} = \frac{L_{2S}}{r_H} \frac{du_2}{dt} + \left(1 + \frac{r_2}{r_H}\right) u_2. \quad (2)$$

Относительная погрешность коэффициента преобразования МДТ определяется отклонением действительного коэффициента преобразования  $k$  от номинального  $k_{\text{н.ном}} = U_{2\text{ном}}/I_{1\text{ном}}$ , измеряемом при номинальном первичном токе  $I_{1\text{ном}}$  и разомкнутой вторичной обмотке, напряжение на которой в этих условиях считается номинальным  $U_{2\text{ном}}$ . Составляющие систематической погрешности коэффициента преобразования  $k$ , обусловленные нелинейностью характеристики намагничивания и влиянием индуктивности рассеивания и активного сопротивления вторичной обмотки и ее нагрузки образуют методическую погрешность МДТ. Различают относительные погрешности для действующих  $f_{\text{д}}$ , средних  $f_{\text{ср}}$ , амплитудных  $f_{\text{амп}}$  значений. Для оценки действующего и максимального значения сигнала небаланса в дифференциальной защите и других измерительных системах, где возможна электрическая связь вторичных обмоток МДТ, целесообразно пользоваться полной погрешностью действующих значений:

$$f_{\text{п}} = \frac{\sqrt{1/T \int_0^T (m u_{2\text{ном}} - u_2)^2 dt}}{m u_{2\text{ном}}} \cdot 100\%$$

и относительной величиной сигнала небаланса

$$f_{\text{макс}} = \frac{\max \{|u_2 - m u_{2\text{ном}}|\}}{m U_{2\text{ном}} \sqrt{2}} \cdot 100\%.$$

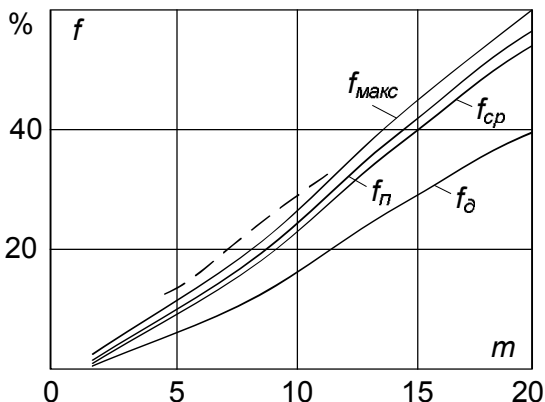
Рассчитаны вышеупомянутые погрешности МДТ в зависимости от кратности периодаического первичного тока  $m$  при следующих допущениях и начальных условиях: вторичная обмотка равномерно распределена по сердечнику, имеющему торoidalную форму, вследствие чего считаем  $L_{2S} = 0$ ; относительная начальная магнитная проницаемость сердечника

на основе порошка Р-10  $\mu_h = 12$ ; датчик тока не нагружен (на холостом ходу); частота первичного тока номинальная; влияние внешних электромагнитных полей не учитывается;  $m \leq 20$ . При сделанных допущениях из (2) следует:

$$u_2 = \frac{d\Psi}{dt} = \frac{w_2 S}{l_0} \frac{d(\mu_1)}{dt}; \quad \mu = f(i_1),$$

где  $w_2$  – число витков вторичной обмотки;  $S$  – сечение сердечника;  $l_0$  – средняя магнитная длина. Экспериментальная зависимость  $\mu(i_1)$  аппроксимирована для расчетов следующим образом. При  $i_1 \leq I_{1\text{ном}}$  магнитная проницаемость  $\mu = \mu_h$ , при  $i_1 \geq I_{1\text{ном}}$

$$\mu = \frac{1}{a^2 i_1 + b|i_1| + c},$$



где  $a = 6,93 \cdot 10^{-6}$ ,  $b = 0,218$ ,  $c = 8,19 \cdot 10^4$ .

Результаты расчетов представлены графиками на рисунке 2.

Рисунок 2 – Зависимости погрешностей МДТ от кратности первичного тока  
Пунктирная кривая – экспериментальная зависимость  $f_{\max}(m)$

Амплитуда выходного напряжения МДТ, являющегося реальным дифференцирующим звеном, соответствует моменту перехода первичного тока через нуль, т.е. области линейного режима, в котором  $\mu = \mu_h$ . Поэтому погрешность коэффициента амплитудных значений  $f_{\text{амп}}$  при любой достижимой кратности установившегося первичного тока равна нулю.

Расчеты показали, что при  $m \leq 20$  остальные погрешности коэффициента передачи практически линейно зависят от  $m$ . Это позволяет предложить простые выражения для вычисления погрешностей:  $f_d = 1,95m$ ;  $f_{\text{ср}} = 2,6m$ ;  $f_{\Pi} = 2,75m$ ;  $f_{\max} = 2,8m$ .

При необходимости измерений установившихся токов в широком динамическом диапазоне при удаленном расположении МДТ может быть рекомендована структурная схема измерителя, регистрирующего амплитудные значения (рисунок 3).

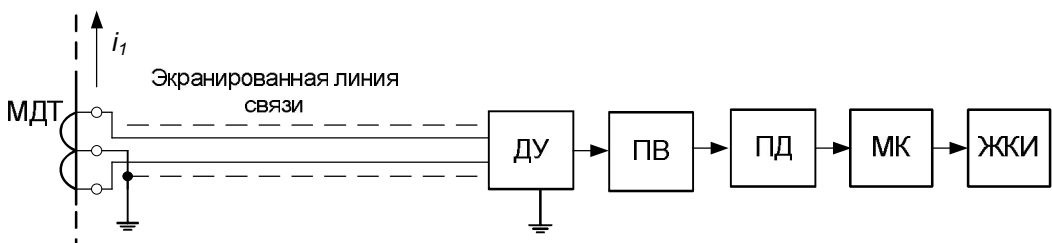


Рисунок 3 – Структурная схема измерителя тока

ДУ – дифференциальный усилитель; ПВ – прецизионный выпрямитель; ПД – пиковый детектор; МК – микроконтроллер с АЦП; ЖКИ – жидкокристаллический индикатор

Целесообразно вторичную обмотку МДТ выполнять с отводком от средней точки в сочетании с дифференциальным усилителем, включенном на противоположном конце двухпроводной экранированной соединительной линии связи. При этом электромагнитная помеха, наводящаяся на проводах относительно «земли» (экрана), представляет собой синфазное напряжение для дифференциального усилителя и будет им подавляться. Величина дифференциальной помехи зависит от идентичности входных сопротивлений дифференциального усилителя. Это предъявляет соответствующие требования к конструкции МДТ, обеспечивающей невосприимчивость к внешним электромагнитным полям с компенсированными витками вторичной обмотки. При этом вторичная цепь измерителя тока

будет находиться под потенциалом земли, а изоляция между токоведущей шиной и вторичной обмоткой должна быть рассчитана на полное напряжение сети.

#### Перечень ссылок

1. Афанасьев В.В., Адоньев Н.М., Кибель В.М. и др. Трансформаторы тока. – 2-е изд., перераб. и доп. – Л.: Энергоатомиздат, 1989.
2. Михайлов В.В. Магнитодиэлектрики в устройствах автоматики и релейной защиты. М.: Энергоатомиздат, 1986.
3. Темирев А.П. Разработка и создание элементов интегрированных корабельных электроэнергетических систем. – Ростов-на-Дону: Изд-во Ростовского университета, 2005.

УДК 621.783.2:621.771

## ВЫБОР ПАРАМЕТРОВ ДЛЯ ОЦЕНКИ РАБОТЫ МАТЕМАТИЧЕСКОЙ МОДЕЛИ НАГРЕВА СЛЯБОВ В МЕТОДИЧЕСКИХ ПЕЧАХ ТОЛСТОЛИСТОВОГО ЦЕХА

**Островская М.М., студент; Симкин А.И., к.т.н., доц.**

(*Приазовский государственный технический университет, г. Мариуполь, Украина*)

В настоящее время в толстолистовом цехе комбината им. Ильича функционируют несколько автоматизированных систем управления, в числе которых АСУТП нагрева металла и АСУТП прокатки (в черновой и чистовой клетях). АСУТП нагрева металла управляет температурным режимом нагревательных печей. Управление базируется на соответствующих алгоритмах и результатах работы информационной модели оценки теплового состояния слябов в печах [1].

В условиях нагрева заготовок с переменными геометрическими размерами и теплотехническими параметрами при переменном темпе выдачи заготовок, постоянным изменением спектра нагреваемого металла (в т.ч. и по маркам стали) с учетом изменений характеристик печей по ходу их эксплуатации модель оценки теплового состояния слябов нуждается в постоянной настройке и адаптации.

Для настройки модели используют экспериментальные прогонки металла с зачеканенными термопарами [2,3], но эти исследования достаточно сложны в реализации и требуют больших финансовых затрат и поэтому проводятся достаточно редко, не чаще 1 раза в 2 года, а это достаточный период для изменения как технического состояния печей, так и других вышеуказанных факторов.

Целью данного исследования является определение параметров прокатки, которые наиболее точно отображают характер нагрева слябов в печах для выявления обратной связи с моделью и возможности корректировки коэффициентов настройки модели нагрева во время эксплуатации печи.

Для достижения цели авторами было выполнено следующее:

- изучены алгоритмы работы АСУТП участка печей и АСУТП прокатки, определены основные параметры нагрева и прокатки;
- составлен алгоритм и программа, объединяющая базу данных с АСУТП участка печей и участка клетей. Анализу подлежали данные за шесть месяцев работы стана;
- составлен алгоритм и программа обработки общей базы данных, с исключением из нее записей с ошибочными (выходящими за пределы допустимых значений) и неполными данными.

В итоге была получена база данных в несколько сотен тысяч записей.

Для основных параметров нагрева и параметров прокатки была оценена их взаимная корреляция. В результате было выявлена связь между основными расчетными параметрами модели, характеризующими температурное состояние сляба на выдаче из печи (температура поверхности сляба на выходе из печи и среднемассовая температура) и двумя группами параметров: общей прокатки и по проходам в черновой клети.